



中山大學
SUN YAT-SEN UNIVERSITY

Magnetic Skymion

中山大学物理学院

报告人：路尚润 组员：何子宇、洪炫、董涤非

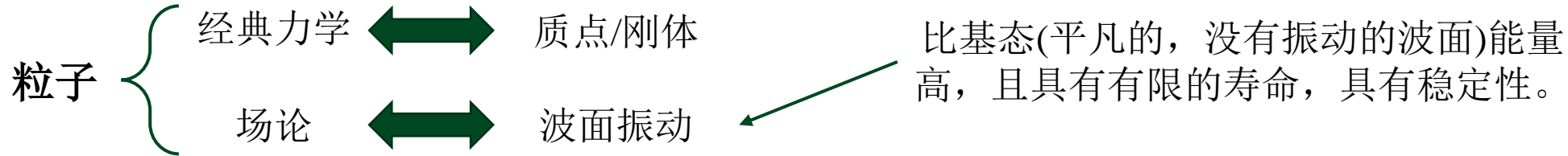
2024年5月20日



Topological properties and dynamics of magnetic skyrmions



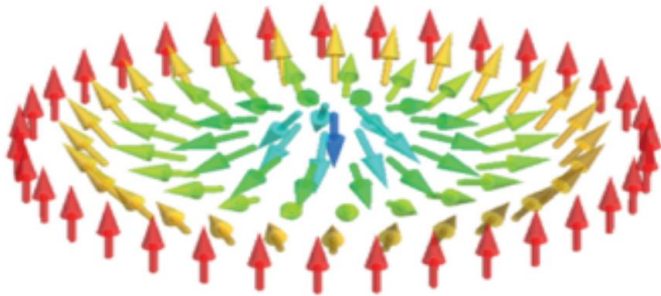
· 什么是磁斯格明子



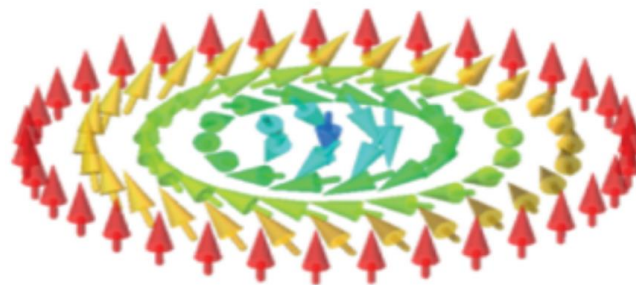
Skyrme最早提出了一种可能^[1], 即粒子是拓扑保护的(由整数拓扑数表征), 构型不能被连续改变, 因此具有稳定性。这个模型的粒子称为skyrmions, 用于解释核物理中的强子。

在凝聚态物质中, 类似的拓扑保护粒子存在于手性磁体中, 即磁斯格明子。其是一种具有拓扑起源的类粒子纳米量级的自旋纹理, 在多种磁性材料中发现, 且寿命较长。

a Néel-type skyrmion



b Bloch-type skyrmion



The skyrmion number:

$$N_{sk} = \frac{1}{4\pi} \iint d^2\mathbf{r} \left[\mathbf{n} \cdot \left(\frac{\partial \mathbf{n}}{\partial x} \times \frac{\partial \mathbf{n}}{\partial y} \right) \right]$$

\mathbf{n} 为自旋向量

奈尔型和布洛赫型斯格明子^[2]

[1] Nucl. Phys. 31, 556–569 (1962).

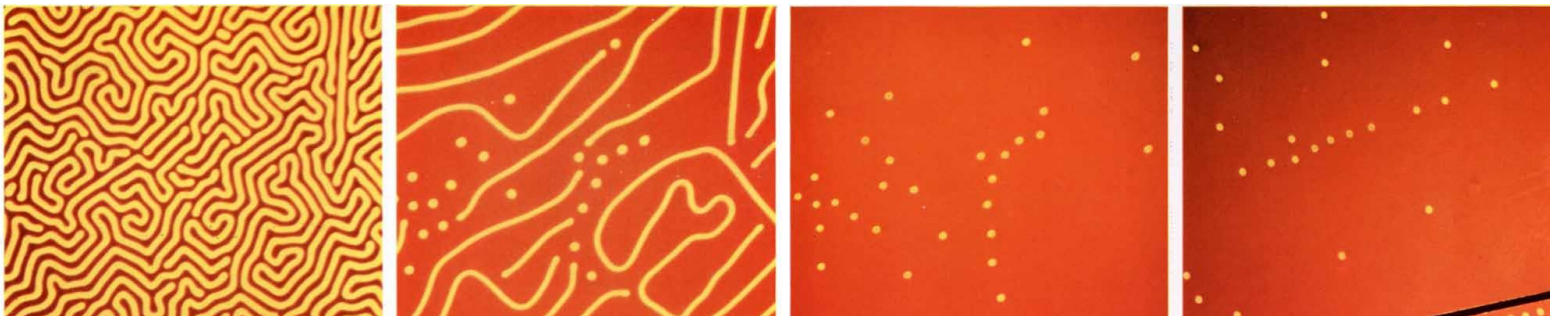
[2] Nat Rev Mater 2, 17031 (2017).



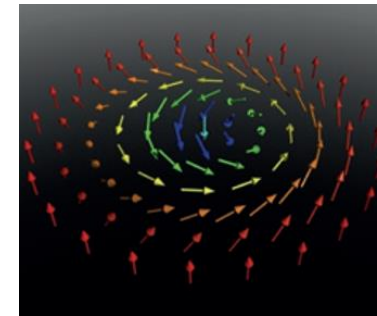
• 磁斯格明子的形成

产生机制

- ①由磁荷引起的长程磁偶极相互作用(尺寸: $100\text{nm}-1\mu\text{m}$)
(在具有垂直易轴的各向异性薄膜中, 偶极相互作用产生面内排斥, 而各向异性倾向于垂直磁化)
- ②相对论Dzyaloshinskii–Moriya (DM)相互作用(尺寸: $5-100\text{nm}$)
(一种特殊的自旋-轨道相互作用, 来自材料的非中心对称性)
- ③阻挫交换相互作用(尺寸: 晶格常数 $\sim 1\text{nm}$)
(受限于晶体结构, 导致交换相互作用无法满足相邻自旋的理想排列)
- ④四自旋交换相互作用(尺寸: 晶格常数 $\sim 1\text{nm}$)
(通常发生在高阶效应, 产生复杂的自旋结构)



磁泡的形成^[3]



磁斯格明子^[4]

[3] Scientific American, 224(6), 78–91. (1971).

[4] Nature Nanotech 8, 899–911 (2013).

• 拓扑性质

(1) 斯格明子数(The skyrmion number)

$$N_{sk} = \frac{1}{4\pi} \iint d^2\mathbf{r} \left[\mathbf{n} \cdot \left(\frac{\partial \mathbf{n}}{\partial x} \times \frac{\partial \mathbf{n}}{\partial y} \right) \right]$$

\mathbf{n} 为自旋向量，为立体角的积分，可以理解为自旋矢量绕单位球转了多少圈。自旋可以写为球坐标形式

$$\mathbf{n}(\mathbf{r}) = (\cos \Phi(\phi) \sin \Theta(r), \sin \Phi(\phi) \sin \Theta(r), \cos \Theta(r))$$

其中 $\mathbf{r} = (r \cos \phi, r \sin \phi)$ ，则

$$N_{sk} = \frac{1}{4\pi} [\cos \Theta(r)]_{r=0}^{r=\infty} [\Phi(\phi)]_{\phi=0}^{\phi=2\pi}$$

假设自旋在 $r \rightarrow \infty$ 时向上，0时向下，则

$$N_{sk} = m = \frac{1}{2\pi} [\Phi(\phi)]_{\phi=0}^{\phi=2\pi}$$

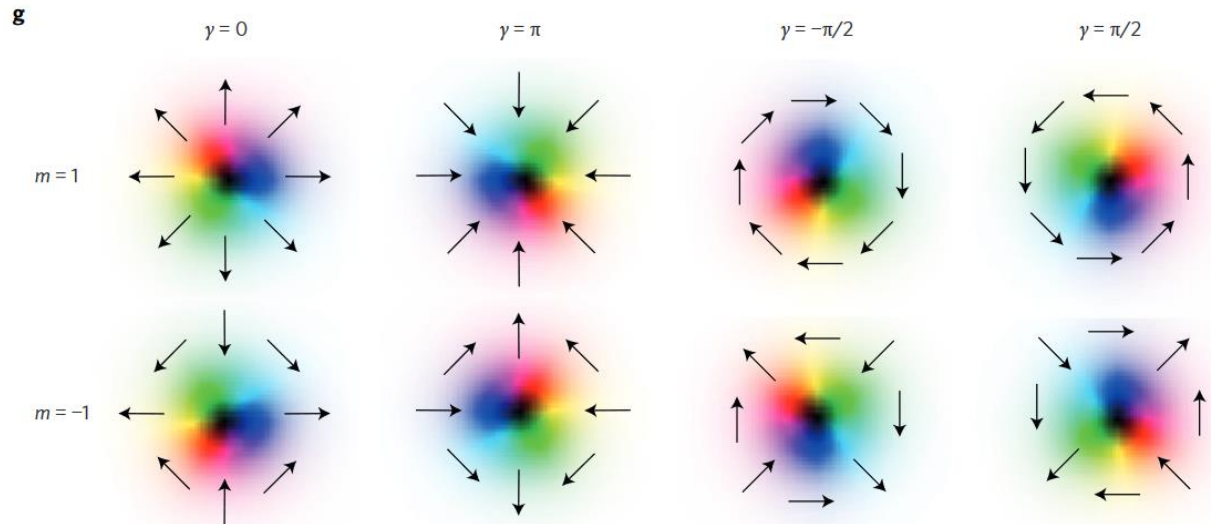
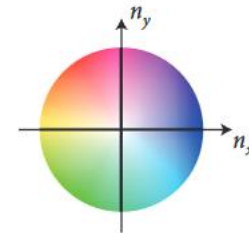
即与涡度 m 相等。

利用相位定义螺旋度 γ

$$\Phi(\phi) = m\phi + \gamma$$

从而可以区分不同的斯格明子结构。

利用明暗区分垂直分量，白代表向上、黑代表向下。



不同的斯格明子结构^[4]



• 拓扑性质

机制①与磁荷密度有关

$$\rho_{mag} = \nabla \cdot \mathbf{n} = \cos[(m-1) + \gamma] \left(\frac{d\Theta}{dr} \cos \Theta + \frac{m}{r} \sin \Theta \right)$$

基态磁荷密度应当较小，使得形成能量较低，则

$$m = +1, \gamma = \pm\pi/2$$

后者符号不定，赋予其螺旋自由度。

机制②的哈密顿量

$$\begin{aligned} H_{DM} &= D\mathbf{n} \cdot (\mathbf{e}_z \times \nabla)\mathbf{n} \text{ or } = D\mathbf{n} \cdot (\nabla \times \mathbf{n}) \\ &= D \sin[(m-1) + \gamma] \left(\frac{d\Theta}{dr} + \frac{m}{2r} \sin 2\Theta \right) \end{aligned}$$

能量最低，则

$$m = +1, \gamma = \pm\pi/2$$

γ 的正负取决于D的符号，由晶体结构决定。

机制③与④的正反斯格明子没有区别，即

$$m = \pm 1, \gamma = \text{arbitrary value}$$

(2)新兴电磁场(Emergent electromagnetic field)

可以用自旋方向表示的EEMF表示自旋纹理和传导电子之间的相互作用。自旋波函数

$$|\chi(r)\rangle = \left(\cos \frac{\Theta(r)}{2}, e^{i\Phi(r)} \sin \frac{\Theta(r)}{2} \right)^T$$

考虑传导电子在 \mathbf{r} 与 $\mathbf{r} + c\boldsymbol{\eta}_\alpha$ 点位之间的hopping($\boldsymbol{\eta}_\alpha$ 为 $\alpha(x, y, z)$ 方向的单位向量， c 为晶格常数)，矩阵元

$$t_\alpha(\mathbf{r}) = t \langle \chi(\mathbf{r}) | \chi(\mathbf{r} + c\boldsymbol{\eta}_\alpha) \rangle$$

t 是传导电子的转移积分，上式为复数，可以写为

$$t_\alpha(\mathbf{r}) = |t_\alpha(\mathbf{r})| e^{ica_\alpha(\mathbf{r})}$$

相位类似于存在外部磁场的佩尔斯项，是晶体中电子在外加磁场下的输运行为中引入的额外相位项。



• 拓扑性质

则我们可以将 $a_\alpha(\mathbf{r})$ 视为外部有效电磁场的矢势，假设自旋构型是缓变的，即 c 为小量，则展开可得

$$a_\alpha(\mathbf{r}) = -i\langle\chi(\mathbf{r})|\partial_\alpha\chi(\mathbf{r})\rangle = \frac{1}{2}\frac{\partial\Phi}{\partial\alpha}(1 - \cos\Theta)$$

则可知，新兴磁场

$$b_z = \frac{\partial a_y}{\partial x} - \frac{\partial a_x}{\partial y} = \frac{1}{2}\mathbf{n} \cdot \left(\frac{\partial \mathbf{n}}{\partial x} \times \frac{\partial \mathbf{n}}{\partial y} \right) \longleftrightarrow \text{The skyrmion number } N_{sk} = \frac{1}{4\pi} \iint d^2\mathbf{r} \left[\mathbf{n} \cdot \left(\frac{\partial \mathbf{n}}{\partial x} \times \frac{\partial \mathbf{n}}{\partial y} \right) \right]$$

则对比斯格明子数可知，总新型磁场磁通量为 $2\pi N_{sk}$ 。推广到三维可得^[5]

$$b_\alpha = \frac{1}{2}\varepsilon^{\alpha\beta\gamma}\mathbf{n} \cdot (\partial_\beta\mathbf{n} \times \partial_\gamma\mathbf{n})$$

$$e_\alpha = \mathbf{n} \cdot (\partial_\alpha\mathbf{n} \times \partial_t\mathbf{n})$$

如同Maxwell电磁场。可以写出其相互作用拉氏量

$$L_{int} = j_\mu a_\mu$$

其中 μ 为时空指标。



• 手性晶格磁体中的斯格明子——DM相互作用

对立方非中心对称的磁体，可以出现非共线的自旋构型，此时反对称DM相互作用的哈密顿量^[5]

$$H = \int d\mathbf{r} \left[\frac{J}{2} (\nabla \mathbf{n})^2 + D \mathbf{n} \cdot (\nabla \times \mathbf{n}) - \mathbf{B} \cdot \mathbf{n} \right]$$

\mathbf{B} 为磁场强度， J 为铁磁相互作用， D 为DM相互作用常数。在磁场为0时，其基态为螺旋态

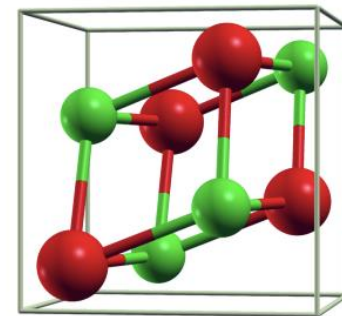
$$\mathbf{n}(\mathbf{r}) = \mathbf{e}_1 \cos(\mathbf{Q} \cdot \mathbf{r} + \phi) \pm \mathbf{e}_2 \sin(\mathbf{Q} \cdot \mathbf{r} + \phi)$$

其波矢 \mathbf{Q} 大小为 $|D|/J$ ，符号由 D 决定，垂直于自旋平面。若对不同点位的易轴方向不同，则其会形成非共线的自旋构型，如B20型结构的MnSi，已经观测到存在skyrmion lattice/crystal(SkL/SkX)相，SkL态由锥形态以上的热涨落稳定，可以视作三重q态，即

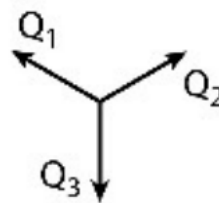
$$\mathbf{n}(\mathbf{r}) \approx \mathbf{n}_{\text{uniform}} + \sum_{i=1}^3 \mathbf{n}_{\mathbf{Q}_i}(\mathbf{r} + \Delta \mathbf{r}_i)$$

由均匀磁化的塞曼效应以及三个q矢量自旋构成，三个q均垂直于外磁场方向，且彼此呈120°角，满足

$$\sum_{i=1}^3 \mathbf{Q}_i = 0$$



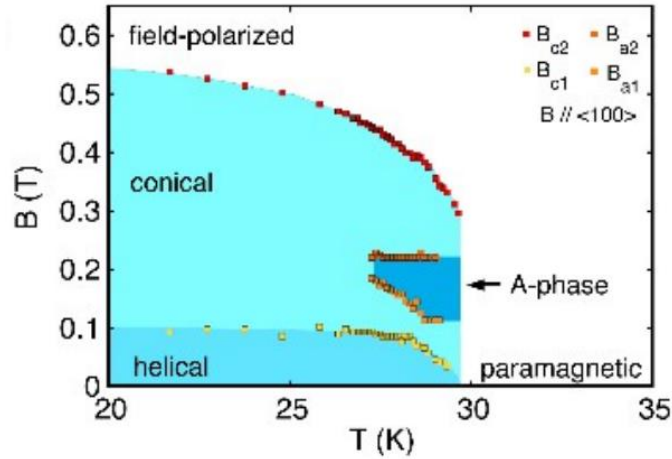
B20型化合物晶体结构^[6]



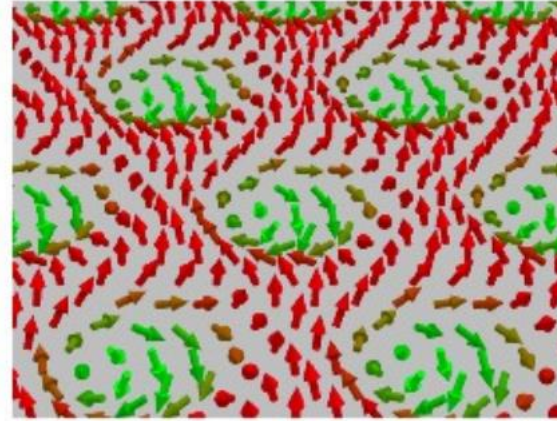
[5] Phil. Trans. R. Soc. A 370, 5806–5819 (2012).

[6] Materials. 12(17):2710. (2019).

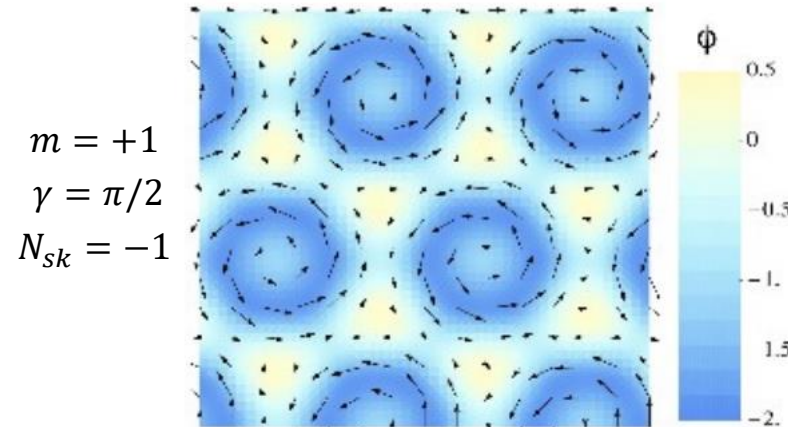
• 手性晶格磁体中的斯格明子——块状材料



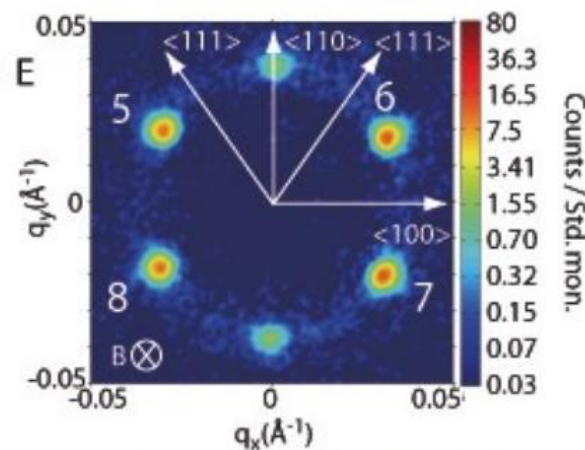
块MnSi的相图^[7]



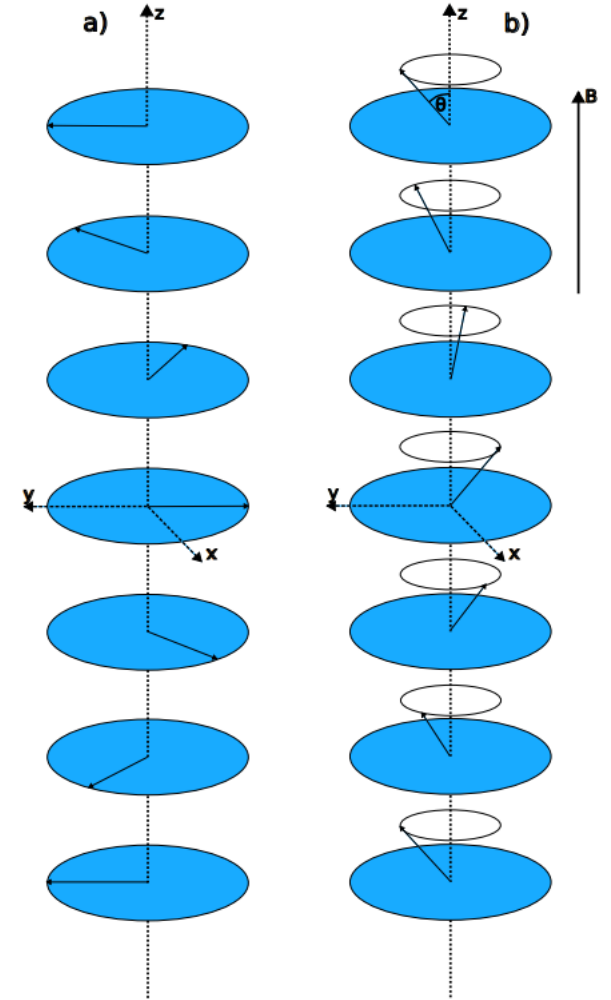
A-Phase下的自旋构型^[7]



A-Phase下斯格明子数密度^[7]



布拉格衍射SANS观测结果^[7]



螺旋磁体和锥形磁体的自旋^[8]

[7] Science 323, 915-919 (2009).

[8] arXiv:2404.01401(2024).



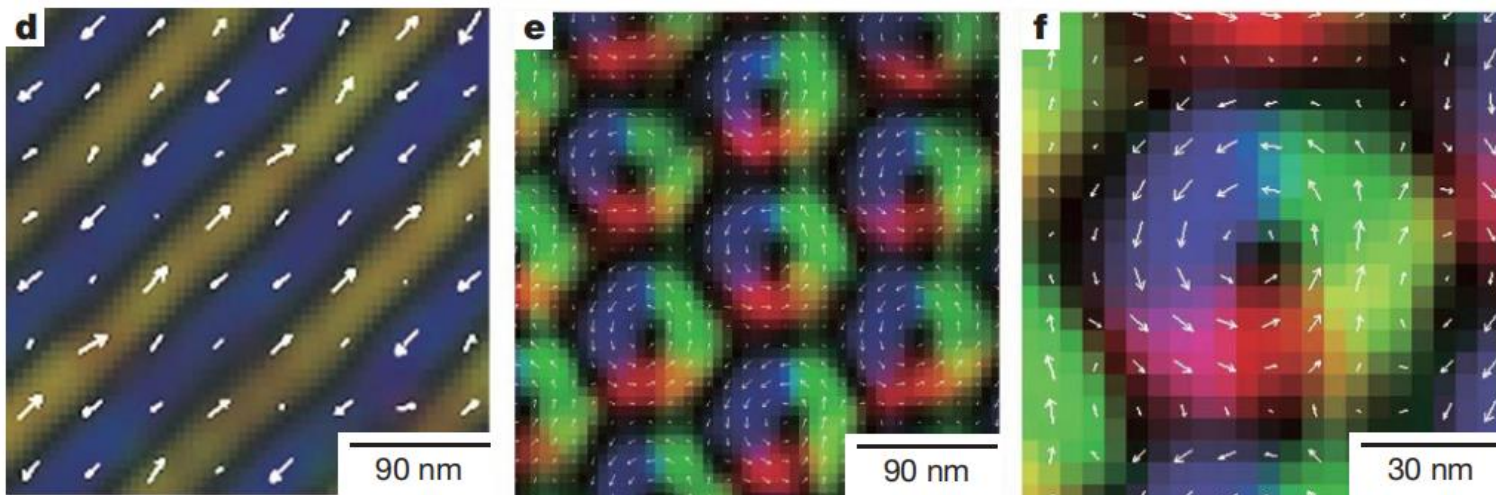
· 手性晶格磁体中的斯格明子——实空间观测

实空间观测技术：扫描探针显微镜，如磁力显微镜、自旋极化扫描隧道显微镜等。

洛伦兹透射电子显微镜(LTEM)，利用面内 \mathbf{M} 产生的磁场 \mathbf{B} ，对入射电子产生洛伦兹力，从而显示出欠聚焦和过聚焦的干涉图样，通过分析光强传输方程的方法可以观测到面内的 \mathbf{M} 分布，可对样品厚度小于100nm，几个nm的斯格明子观测。如具有B20手性晶体结构的 $\text{Fe}_{0.5}\text{Co}_{0.5}\text{Si}$ 薄膜，观测到两种拓扑自旋纹理：

①无磁场时，低于磁转变温度($\sim 40\text{K}$)下，呈螺旋自旋结构条纹分布，周期为 $\lambda=90\text{nm}$ ；

②施加50mT垂直磁场，出现二维SkL，呈三角(六角)晶格。



LTEM测量结果^[9]

晶格常数为条纹周期 λ 的 $2/\sqrt{3}$ 倍

螺旋度反映了DM相互作用的符号，说明其晶格结构手性域的均匀性，对不同手性的磁畴，螺旋性可以反转

垂直方向的磁矩LTEM无法读取，但可以通过外加磁场方向设定

· 手性晶格磁体中的斯格明子——薄膜材料

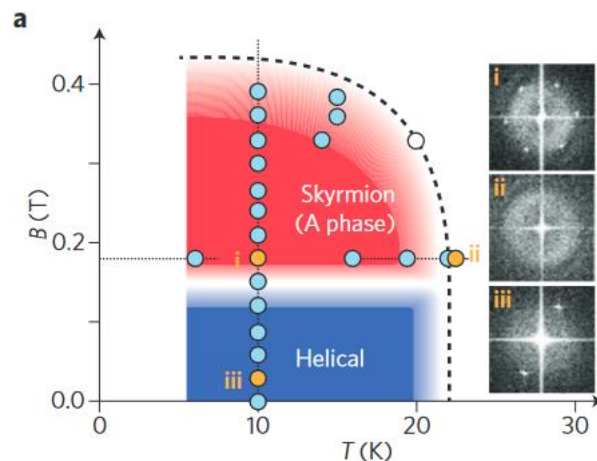
①MnSi:

与块状材料相比，薄膜材料的SkL相扩大到了更广泛的区域，即使在最低温度下，在中间量级的磁场下仍能存在SkL相。

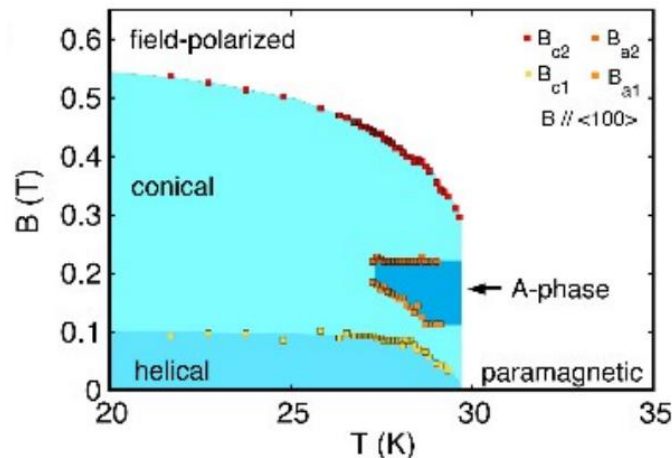
②FeGe:

随着薄膜厚度的减小，SkL相相对于螺旋相更加稳定。

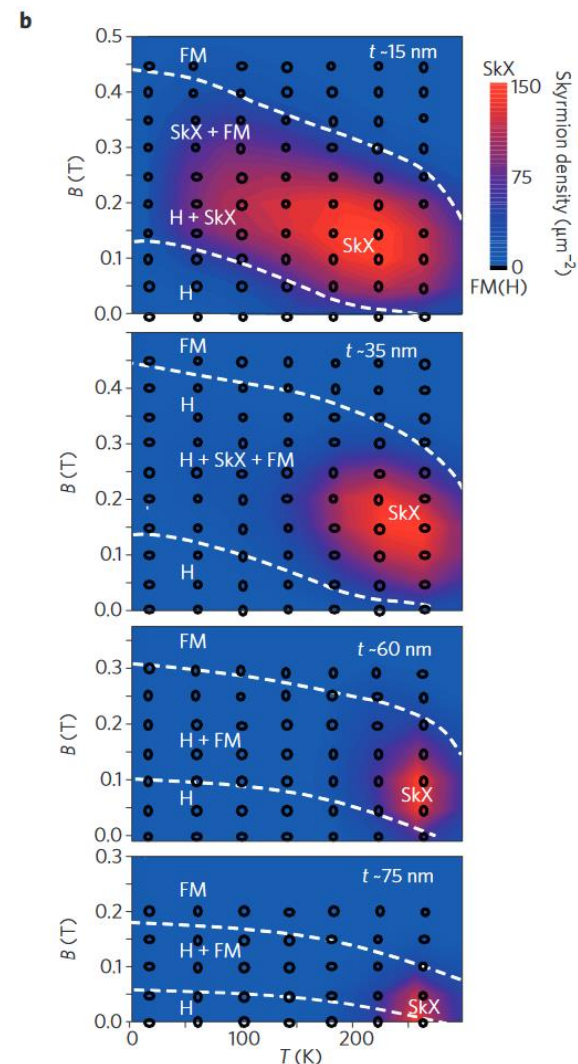
这可能是由于自旋不能沿着磁场方向螺旋，或者薄膜厚度变小时，磁各向异性发生了变化。



50nm薄膜MnSi的相图^[10]



块状MnSi的相图^[7]



不同厚度薄膜FeGe的相图^[11]

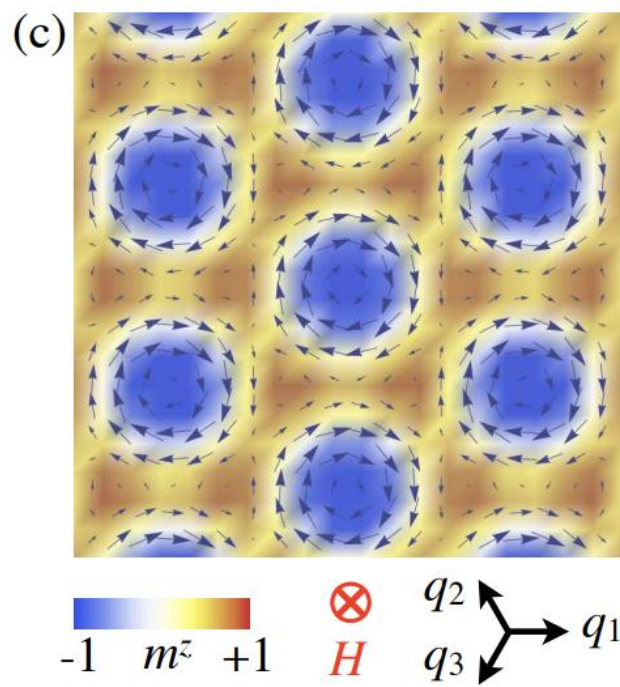
[7] Science 323, 915-919 (2009).

[10] Nano Lett. 12, 1673-1677 (2012).

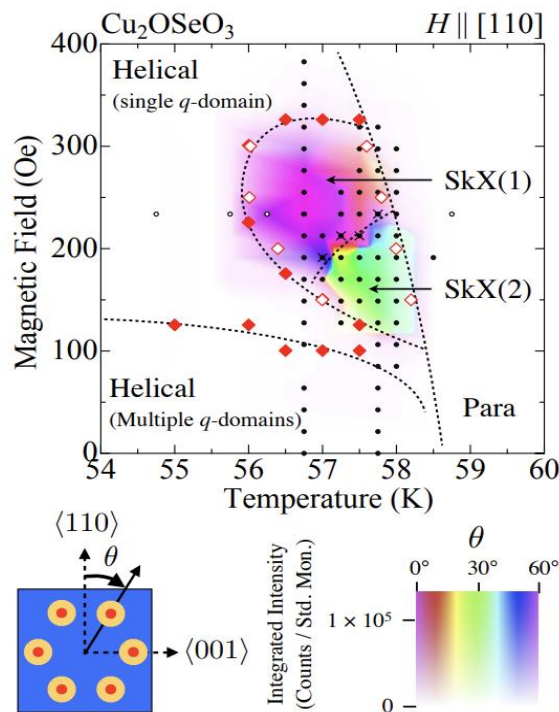
[11] Nature Mater. 10, 106-109 (2011).

不同磁性体系中的斯格明子——空间群 $P2_13$ 螺旋磁体

具有高对称性和手性结构的螺旋磁体在增加外磁场或为薄膜形式时，均可能出现斯格明子，如B20型(空间群 $P2_13$)。具有相同空间群的绝缘螺旋磁体 Cu_2OSeO_3 也能产生斯格明子，尽管没有传导电子。



Cu_2OSeO_3 的斯格明子^[12]



块状 Cu_2OSeO_3 的相图^[12]

Table 1 | List of transition temperatures (T_N) and helical periods (λ) of helimagnets.

Material		T_N (K)	λ (nm)	Reference
MnSi	Bulk	30	18	23
	Epitaxial thin film	45	8.5	51
$\text{Mn}_{1-x}\text{Fe}_x\text{Si}$	$x = 0.06$	16.5	12.5	25
	$x = 0.08$	10.6	11	25
	$x = 0.10$	6.8	10	25
$\text{Fe}_{1-x}\text{Co}_x\text{Si}$	$x = 0.10$	11	43	29,33
	$x = 0.5$	36	90	29,33
	$x = 0.6$	24	174	29,33
	$x = 0.7$	7	230	29,33
MnGe	$T = 20$ K	170	3	50
	$T = 100$ K	-	3.4	50
	$T = 150$ K	-	5.5	50
$\text{Mn}_{1-x}\text{Fe}_x\text{Ge}$	$x = 0.35$	150	4.7	38
	$x = 0.5$	185	14.5	38
	$x = 0.7$	210	77	38
	$x = 0.84$	220	220	38
FeGe	Bulk	278	70	34
Cu_2OSeO_3	Bulk	59	62	76
	Thinned plate	-	50	86

一些螺旋磁体的转变温度和螺旋周期^[4]

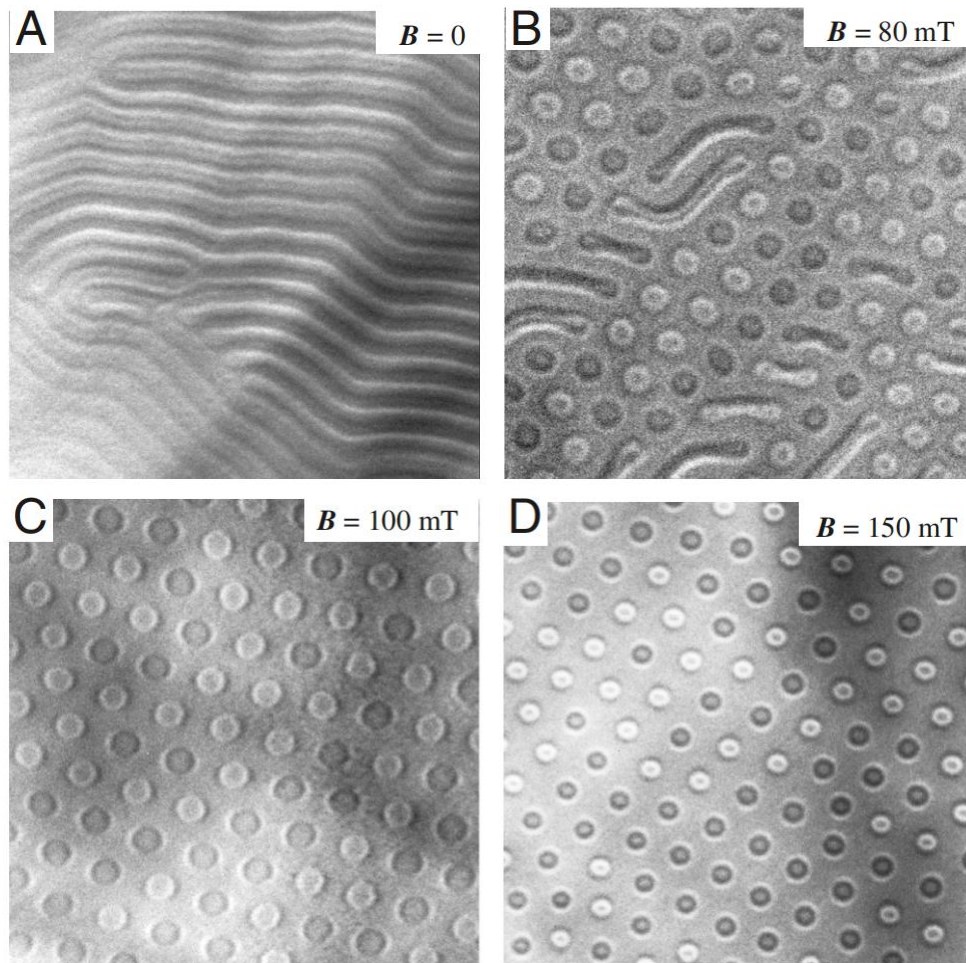
[4] Nature Nanotech 8, 899–911 (2013).

[12] Phys. Rev. B 85, 220406 (2012).

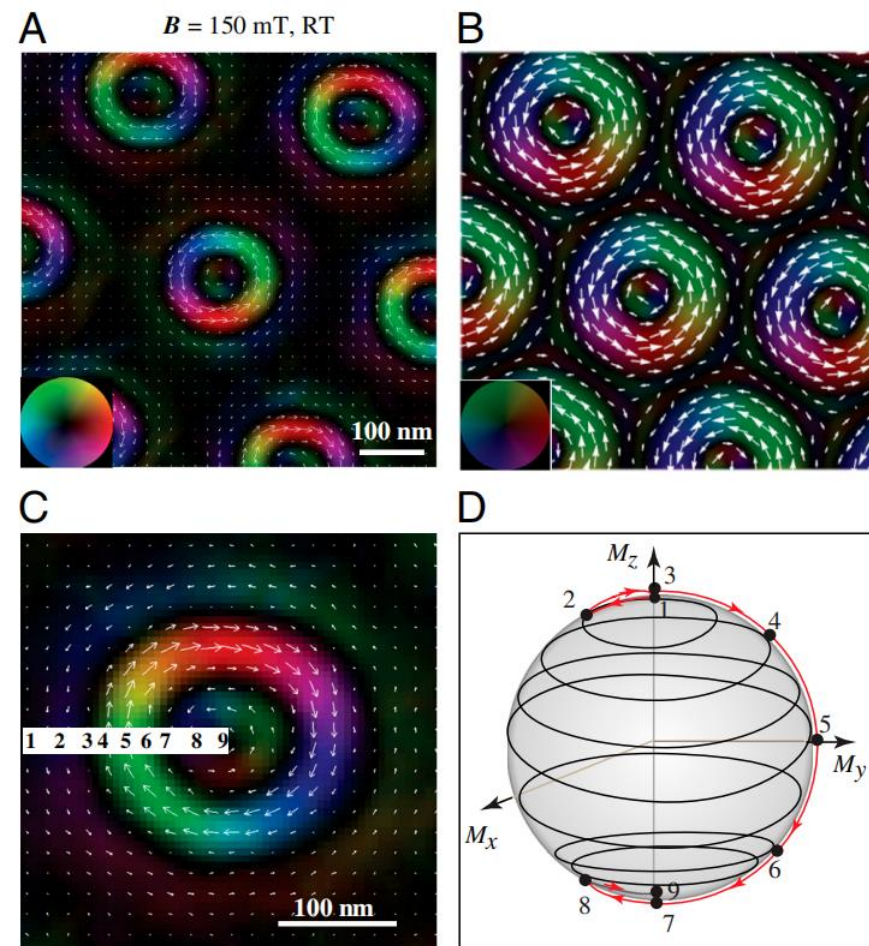
不同磁性体系中的斯格明子——薄膜中心对称磁体

薄膜的中心对称磁体也会出现。此时偶极相互作用和单轴磁各向异性相互作用，如磁斯格明子的形成部分所述。

当面外的磁各向异性超过某临界值，则会在低场观测到条纹相，由于海森堡系统的磁各向异性的高阶项作用，会产生丰富的磁性气泡。



$\text{Ba}(\text{Fe}_{1-x-0.05}\text{Sc}_x\text{Mg}_{0.05})_{12}\text{O}_{19}$ ($x=0.16$) 中的条纹相及 SkL 相^[13]



BFO 中的斯格明子及单位球的映射^[13]

• 斯格明子相关的拓扑现象——拓扑霍尔效应

如前所述，自旋纹理与传到电子的耦合会产生EEMF，会产生自旋转移力矩，联合运动方程

$$\frac{\partial f}{\partial t} + \mathbf{v} \cdot \nabla_r f - e[(\mathbf{E} + \mathbf{e}) + \mathbf{v} \times (\mathbf{B} + \mathbf{b})] \cdot \nabla_k f = -\frac{1}{\tau}(f - f_0)$$

$$\frac{\partial \mathbf{n}}{\partial t} + (\mathbf{j} \cdot \nabla)\mathbf{n} = -\mathbf{n} \times \frac{\delta H_s}{\delta \mathbf{n}} + \mathbf{n} \times \left[\alpha_G \frac{\partial \mathbf{n}}{\partial t} + \beta(\mathbf{j} \cdot \nabla)\mathbf{n} \right]$$

为弛豫时间近似下的玻尔兹曼方程和Landau-Lifshitz-Gilbert方程，其中 H_s 为自旋哈密顿量， α_s 为Gilbert阻尼常数， β 代表了非绝热效应。上式的Lorentz力会导致霍尔效应， \mathbf{b} 产生的称为拓扑霍尔效应(THE)。

在SkL相中，每个斯格明子周期性排列产生几乎均匀的新兴磁场

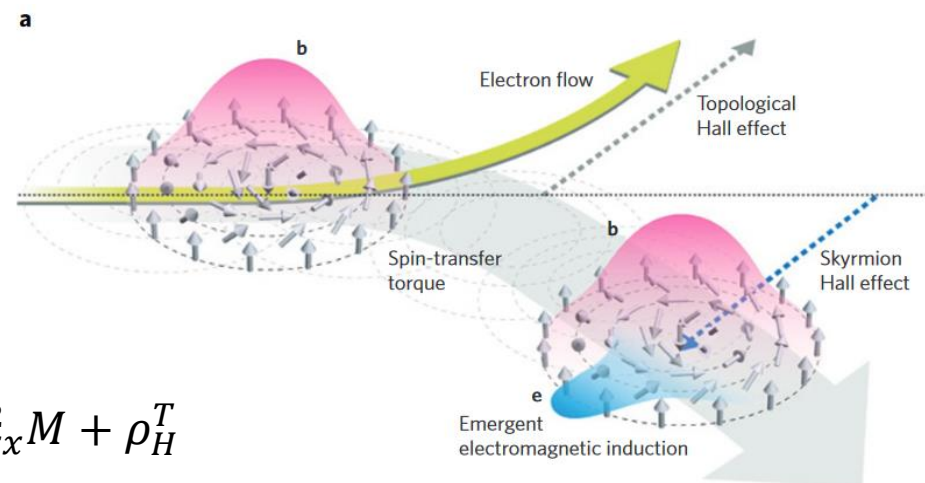
$$\langle b_z \rangle = \frac{\sqrt{3}\phi_0}{2\lambda^2}$$

其中 $\phi_0 = h/e$ ， $a_s = 2\lambda/\sqrt{3}$ 为三角晶格的晶格常数。

霍尔电阻率一般可以表示为

$$\rho_H = \rho_H^N + \rho_H^A + \rho_H^T = R_0 B + S_A \rho_{xx}^2 M + \rho_H^T$$

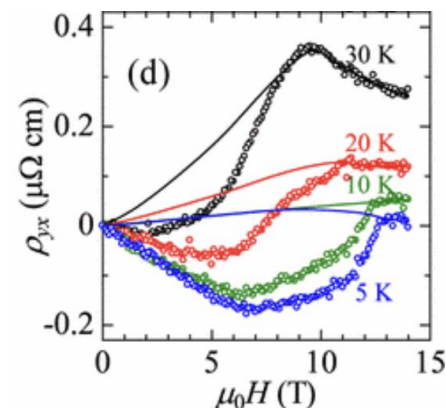
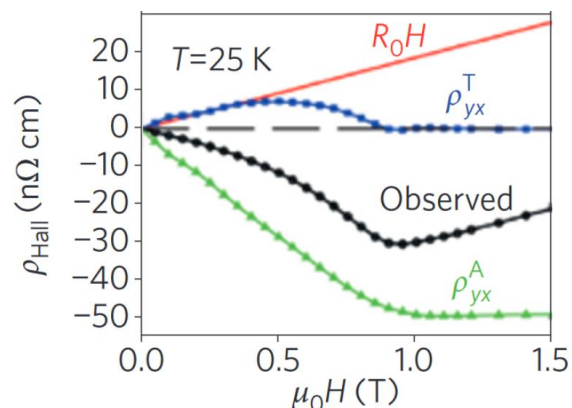
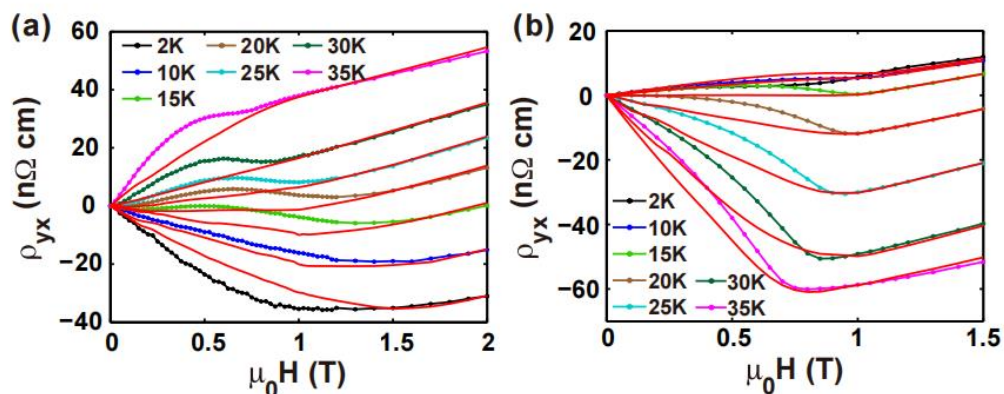
分别为经典项、反常项和拓扑项。



一些斯格明子拓扑现象^[4]

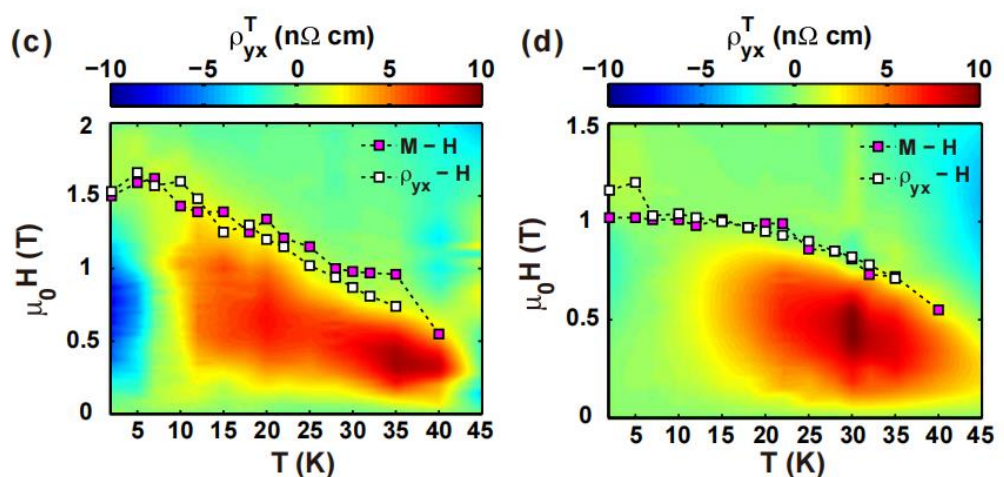
• 斯格明子相关的拓扑现象——拓扑霍尔效应

如MnSi薄膜，25K时 ρ_H^T 约为8nΩcm，与块状的值相当或略大；利用 ρ_H^T 可以很好地估计出SkL相的区域。

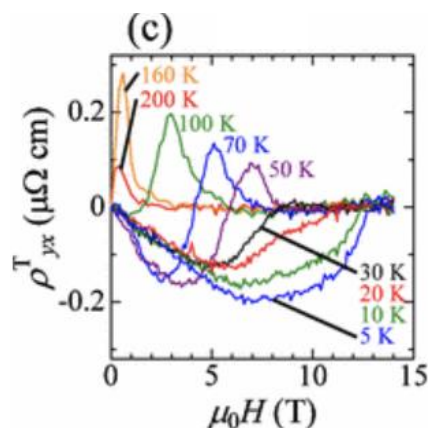


薄膜MnSi的THE(50nm)^[14]

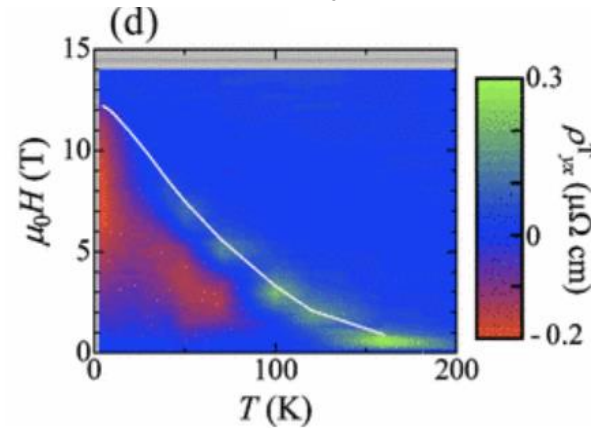
MnGe块 ρ_{yx} 观测^[15]



薄膜MnSi的THE观测(10nm与50nm)^[14]



MnGe块中的THE观测^[15]



[14] Phys. Rev. Lett. 110, 117202 (2013).

[15] Phys. Rev. Lett. 106, 156603 (2011).

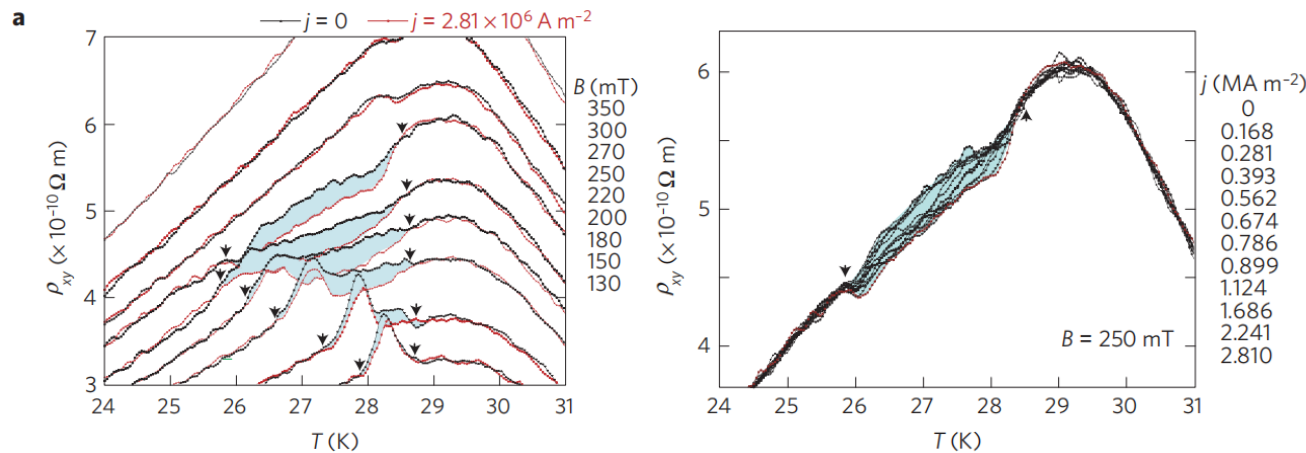
• 斯格明子的动力学——运动电磁感应

实验上发现，超低电流密度即可推动斯格明子晶体运动，比铁磁体中磁畴运动所需电流密度小5/6个数量级。

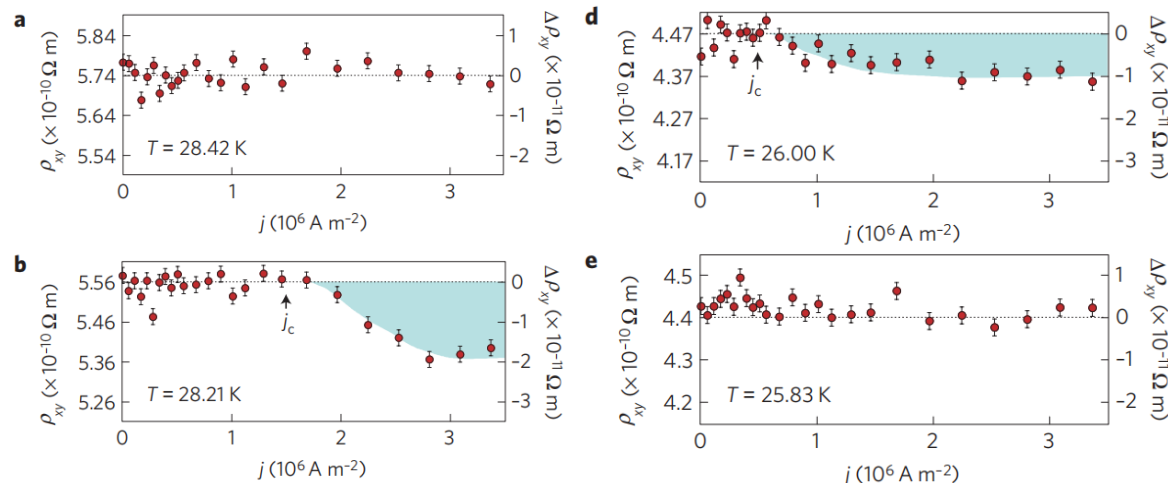
斯格明子运动时，则会诱导出新兴电场

$$\nabla \times \mathbf{e} = -\frac{\partial \mathbf{b}}{\partial t}$$

或者 $\mathbf{e} = \mathbf{v}_d \times \mathbf{b}$ ， \mathbf{v}_d 为斯格明子的漂移速度，是电流的函数。在临界电流 j_c 以下，漂移速度为0，并在 $j > j_c$ 时逐渐增长，此时诱导出的电场会产生与THE相反方向的霍尔效应。



MnSi中斯格明子运动对霍尔效应的影响^[16]



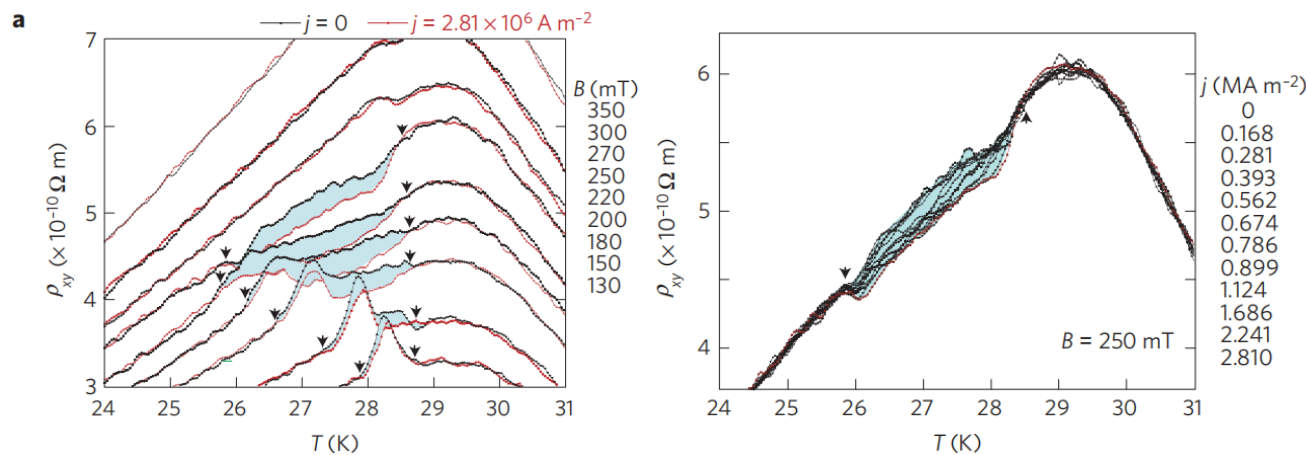
250mT下MnSi中 ρ_{xy} 随传导电流的变化^[16]

• 斯格明子的动力学——运动电磁感应

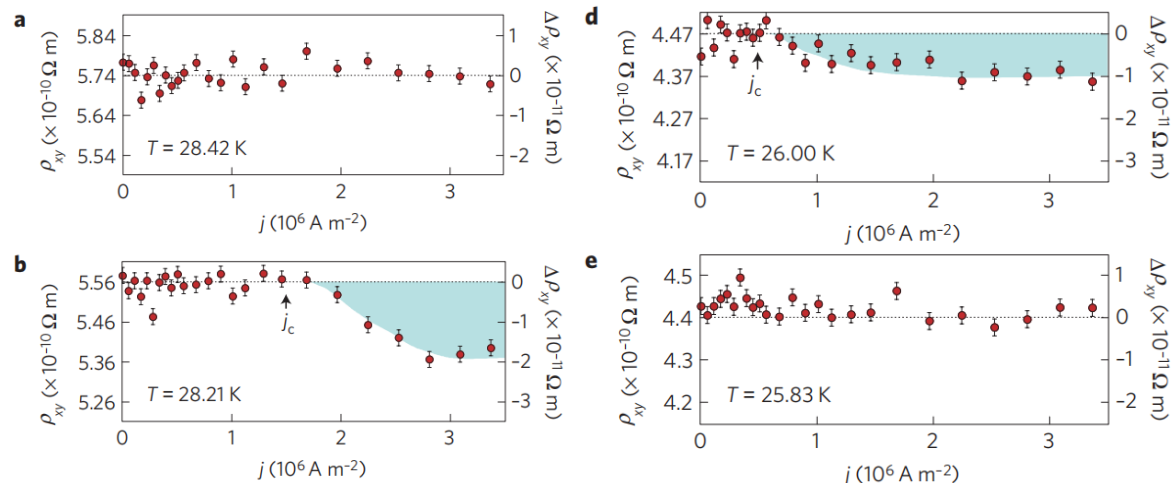
斯格明子的质心运动方程

$$M_s \frac{d\mathbf{v}_d}{dt} + \mathbf{G} \times (\mathbf{j} - \mathbf{v}_d) + \kappa(\alpha_G \mathbf{v}_d - \beta \mathbf{j}) = -\nabla U$$

其中 $\mathbf{v}_d = (\dot{X}, \dot{Y})$ 为质心的运动速度， M_s 为斯格明子质量(来自于斯格明子运动的形变)，在缓变时可忽略； κ 为无量纲常数； $\mathbf{G} = 4\pi N_{sk} \mathbf{e}_z$ 为旋磁耦合矢量； U 是由于边界效应、磁场以及掺杂产生的钉扎势。此方程导出了斯格明子霍尔效应，在Gilbert阻尼项 α_G 和非绝热效应 β 存在时，忽略两者内部的高阶时，会产生一个垂直于 \mathbf{j} 的速度 $v_\perp = (\alpha_G - \beta)j$ 。

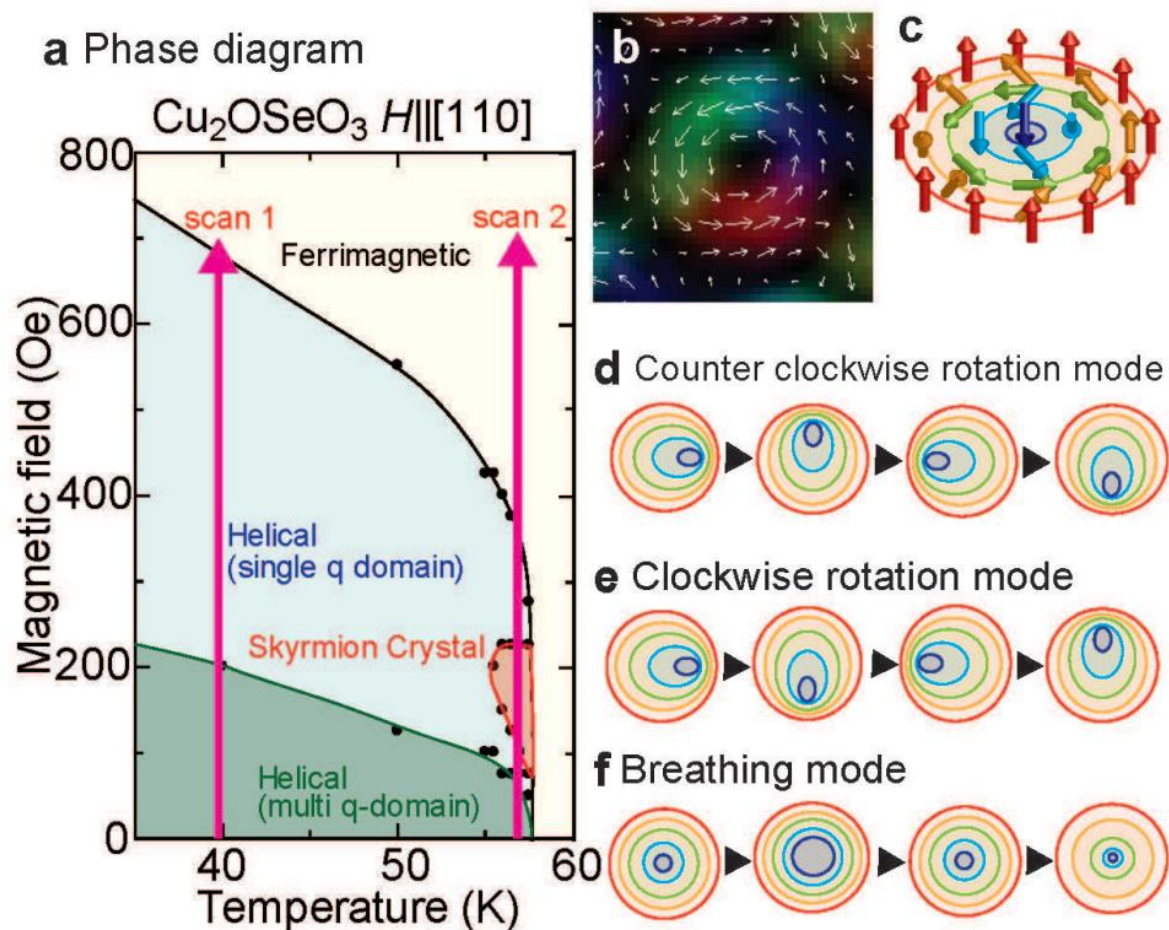


MnSi中斯格明子运动对霍尔效应的影响^[16]

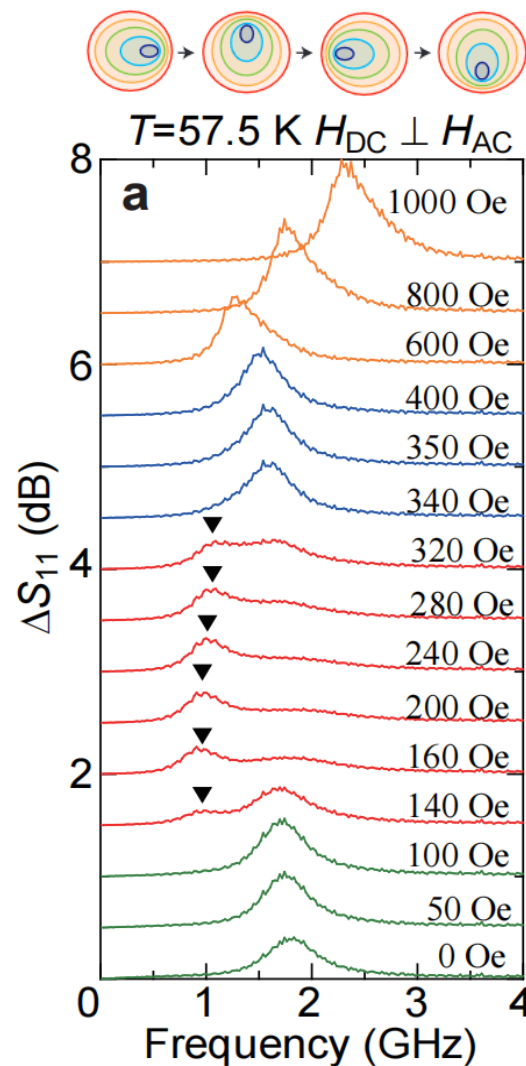


250mT下MnSi中 ρ_{xy} 随传导电流的变化^[16]

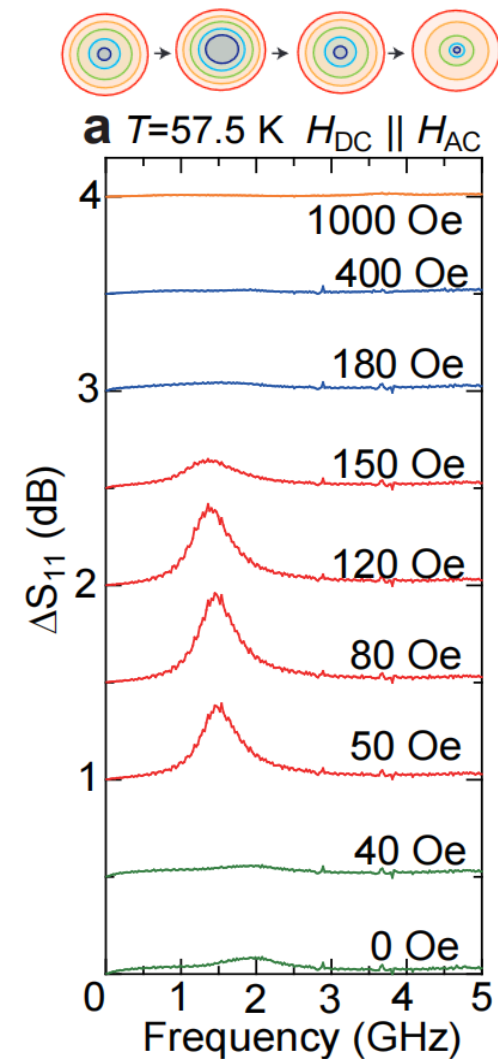
• 斯格明子的动力学——集体模式



Cu_2OSeO_3 相图及斯格明子模式^[17]



交直流垂直测量结果^[17]



交直流平行测量结果^[17]

· 斯格明子的动力学——外参量对运动的影响

斯格明子磁畴壁的运动方程(假设稳态运动, 忽略了 M_s)

$$\alpha_G \dot{X} = \beta j_x - \partial_X U$$

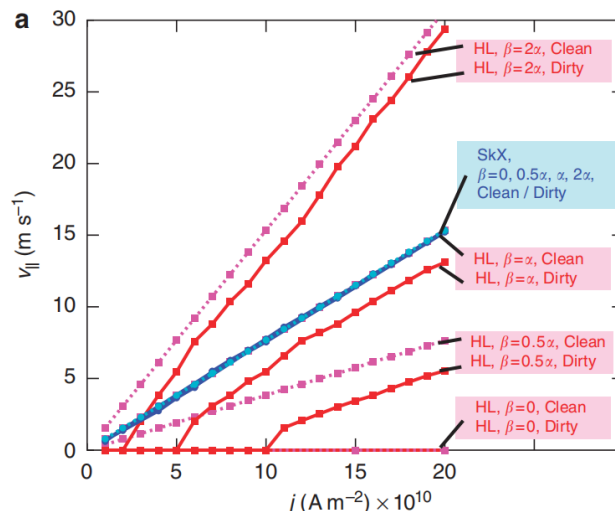
与斯格明子运动方程相比, 磁畴的 b_z 为0, 因此不会出现X与Y的耦合。由 $\alpha_G, \beta \ll 1$, 此时钉扎效应相对于斯格明子增强了。

在没有钉扎势的情况下, 有 $\dot{X} = \beta/\alpha_G j_x$, 而 $\beta=0$ 时, 当 j_x 小于临界值, 则不会产生运动, 称为内禀钉扎。

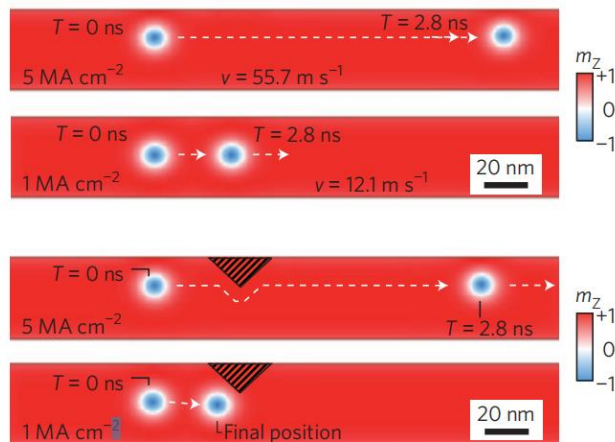
对斯格明子, 钉扎力的唯象表达式

$$\mathbf{F}_{pin} = -4\pi M_s f(v_d/v_{pin})(\mathbf{v}_d/v_d)$$

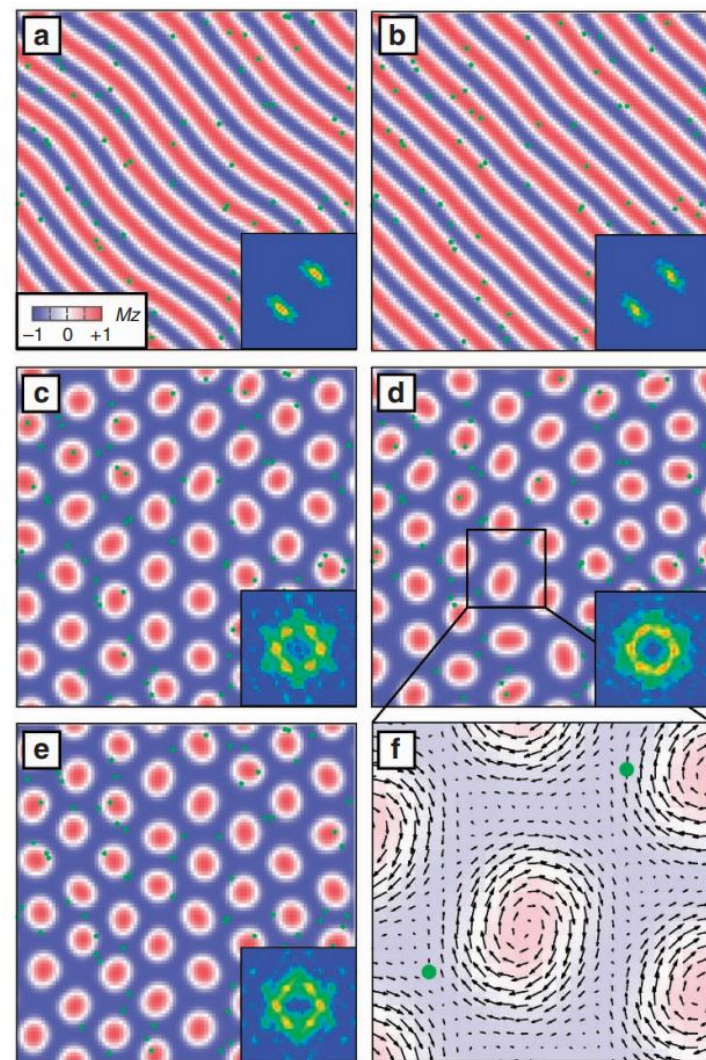
其中 f 为标度函数, v_{pin} 是表征钉扎力强度的速度。



电流驱动运动模拟结果[18]



有无凹口结构样品中的运动[19]



自旋纹理的电流驱动模拟结果[18]

[18] Nat Commun 4, 1463 (2013).

[19] Nature Nanotech. 8, 152-156 (2013).



中山大學
SUN YAT-SEN UNIVERSITY

Thanks

國立中山大學
中山大学物理学院

报告人：路尚润 组员：何子宇、洪炫、董涤非

2024年5月20日



中山大學

SUN YAT-SEN UNIVERSITY

Part.00

附录

• References

- [1] Skyrme, T. H. R. A unified field theory of mesons and baryons. *Nucl. Phys.* 31, 556–569 (1962).
- [2] Fert, A., Reyren, N. & Cros, V. Magnetic skyrmions: advances in physics and potential applications. *Nat Rev Mater* 2, 17031 (2017).
- [3] Boeck, A. H., Scovil, H. E. D. MAGNETIC BUBBLES. *Scientific American*, 224(6), 78–91. (1971).
- [4] Nagaosa, N., Tokura, Y. Topological properties and dynamics of magnetic skyrmions. *Nature Nanotech* 8, 899–911 (2013).
- [5] Nagaosa, N., Yu, X. Z. & Tokura, Y. Gauge fields in real and momentum spaces in magnets: monopoles and skyrmions. *Phil. Trans. R. Soc. A* 370, 5806–5819 (2012).
- [6] Pshenay-Severin DA, Burkov AT. Electronic Structure of B20 (FeSi-Type) Transition-Metal Monosilicides. *Materials*. 12(17):2710. (2019).
- [7] S. Mühlbauer et al. ,Skyrmion Lattice in a Chiral Magnet.Science323,915-919(2009).
- [8] Raz Rivlis, Andrei Zadorozhnyi , Yuri Dahnovsky. Giant and negative magnetoresistances in conical magnets. *arXiv:2404.01401*(2024).
- [9] Yu, X. Z. et al. Real-space observation of a two-dimensional skyrmion crystal. *Nature* 465, 901–904 (2010).
- [10] Tonomura, A. et al. Real-space observation of skyrmion lattice in helimagnet MnSi thin samples. *Nano Lett.* 12, 1673–1677 (2012).
- [11] Yu, X. Z. et al. Near room-temperature formation of a skyrmion crystal in thin-films of the helimagnet FeGe. *Nature Mater.* 10, 106–109 (2011).
- [12] Seki, S. et al. Formation and rotation of skyrmion crystal in the chiral-lattice insulator Cu₂OSeO₃. *Phys. Rev. B* 85, 220406 (2012).
- [13] M. Vogel, B. Zimmermann, J. Wild, F. Schwarzhuber, C. Mewes, T. Mewes, J. Zweck, C. H. Back, Driving a magnetic texture by magnon currents. *Physical Review B*, 107, 10, (2023).
- [14] Yufan Li, Y. et al. Robust formation of skyrmions and topological Hall effect anomaly in epitaxial thin films of MnSi. *Phys. Rev. Lett.* 110, 117202 (2013).
- [15] Kanazawa, N. et al. Large topological Hall effect in a short-period helimagnet MnGe. *Phys. Rev. Lett.* 106, 156603 (2011).
- [16] Schulz, T. et al. Emergent electrodynamics of skyrmions in a chiral magnet. *Nature Phys.* 8, 301–304 (2012).
- [17] Onose, Y., Okamura, Y., Seki, S., Ishiwata, S. & Tokura, Y. Observation of magnetic excitations of skyrmion crystal in a helimagnetic insulator Cu₂OSeO₃. *Phys. Rev. Lett.* 109, 037603 (2012).
- [18] Iwasaki, J., Mochizuki, M. & Nagaosa, N. Universal current-velocity relation of skyrmion motion in chiral magnets. *Nat Commun* 4, 1463 (2013).
- [19] Fert, A., Cros, V. & Sampaio, J. Skyrmions on the track. *Nature Nanotech.* 8, 152–156 (2013).